

JANUSZ FIRLET, ZBIGNIEW PIANOWSKI

## NOWO ODKRYTY KOŚCIÓŁ ROMAŃSKI NA WAWELU

Podczas prac wykopaliskowych prowadzonych w 1976 r. w obrębie niewielkiego wykopu sondażowego „SF 13 bis” w zachodniej części wzgórza wawelskiego (rej. VIII — ryc. 1). natrafiono na odcinek muru kamiennego o cechach architektury romańskiej<sup>1</sup>. Ponieważ wspomniana odkrywka okazała się zbyt mała dla pełniejszego rozpoznania obiektu, jeszcze w tym samym roku wytyczono kolejne wykopy badawcze 1/76, 2/76, 4/76 (ryc. 2) w celu uchwycenia dalszych partii budowli i rozpoznania kontekstu towarzyszących jej warstw kulturowych. Ustalenia z wykopu 1/76 w pełni potwierdziły wczesnośredniowieczną metrykę muru, stwierdzono jednocześnie jego półkolisty przebieg. Odsłonięte lico wewnętrzne wykonane było z kostki wapiennej. Powyższe odkrycia skłoniły nas do poszukiwań zachodniej części obiektu (wykop 2/76), niestety bez rezultatów, gdyż ta partia wzgórza została znacznie znielowana w czasach nowożytnych. W tej sytuacji dalszych odkryć należało się spodziewać w obrębie sąsiedniego wykopu 4/76. Istotnie, wystąpił tu dalszy odcinek półkolistego muru romańskiego, licowanego po obu stronach kostką oraz część fundamentu na przedłużeniu zniszczonej partii naziemnej.

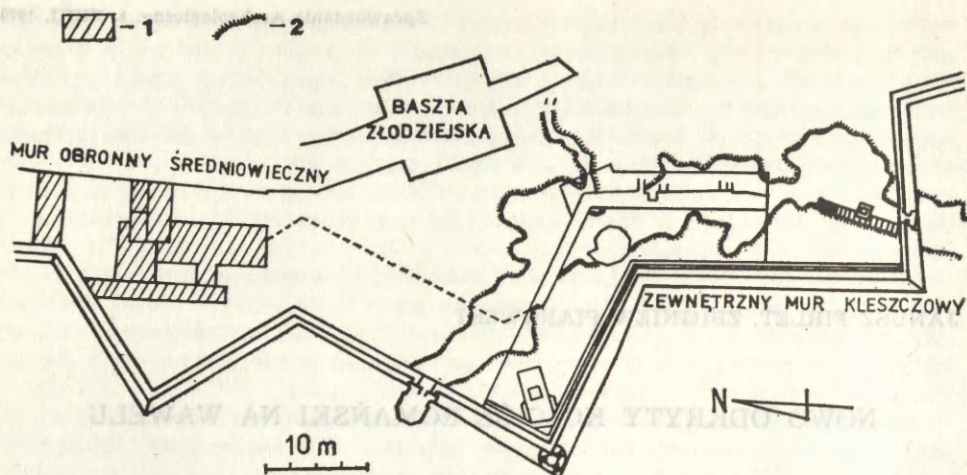
Badania archeologiczne kontynuowano w 1977 r. Na południe od dotychczasowych odkrywek założono wykop 1/77, przyległy do poprzednich (ryc. 2). Odsłonięto tutaj drugi odcinek muru romańskiego o przebiegu również półkolistym (oddzielony od poprzednio odkrytego pozostałymi świądkami ziemnymi). Dalej w kierunku południowym odpreparowano poziomy użytkowe z okresu istnienia obiektu, rozpoznano także kilka warstw zawierających materiał z destrukcji budowli. Sondáže poniżej poziomów użytkowych pozwoliły na ustalenie zasięgu ławy fundamentowej. Wykopy archeologiczne zajęły powierzchnię ok. 117 m<sup>2</sup>, przebadano w sumie ok. 308 m<sup>3</sup> nawarstwień. Dotychczas zebrany zasób informacji pozwala na dokonanie wstępnego podsumowania wyników.

Przemiany kulturowe od połowy XIII w. do czasów współczesnych  
na badanym obszarze

Pod współczesnym poziomem użytkowym zalegały nawarstwienia nowożytne o miąższości do ok. 4-5 m w części zachodniej wykopu 1/77. Są to w olbrzymiej więk-

<sup>1</sup> Wstępne wyniki badań z roku 1976 zostały przedstawione na posiedzeniu Komisji Archeologicznej O/PAN w Krakowie dn. 21 II 1977 r. — J. Firlet, Z. Pianowski, *Problematyka badań w zachodniej części wzgórza wawelskiego*, „Sprawozdanie z posiedzeń Komisji Naukowych O/PAN w Krakowie” (w druku). Badania prowadzone pod kierunkiem mgr. S. Kozieła.





Ryc. 1. Kraków-Wawel. Plan części rejonu VIII z zaznaczeniem omawianych w tekście odkrywek archeologicznych (1). Naniesiony zarys Smoczej Jamy (2)

Plan of part of region VIII showing archaeological excavations described in text (1). Plotted outline of Smocza Jama (Dragon's Cave) (2)

Rys. J. Błitek

szości warstwy zasypiskowe i wyrównawcze powstałe: w 1 połowie XX w. (I d-I e)<sup>2</sup>, po podwyższeniu przez Austriaków zewnętrznego muru kleszczowego w latach 1853-1854 (II a-II f), podczas akcji porządkowej Wolnego Miasta Krakowa w latach 1827-1831 (II f<sub>2</sub>-II k) oraz związane z budową fortyfikacji kleszczowych z końcem XVIII w. w latach 1790-1792 (III a-III d). Odsłonięto także w trakcie prac ok. 10-metrowy odcinek fundamentu średniowiecznego przedmurza (ryc. 2 — mur 1) oraz fragmenty wewnętrznego muru kleszczowego powiązanego z trzema niewielkimi murami prostopadłymi (ryc. 2 — mury 4, 5 i 6). Po zachodniej stronie i pod stopą przedmurza znajdowały się reszty wału obronnego w postaci rozsypu gliniastego (V b.), spoczywające na zniszczonej koronie muru romańskiego (mur 2).

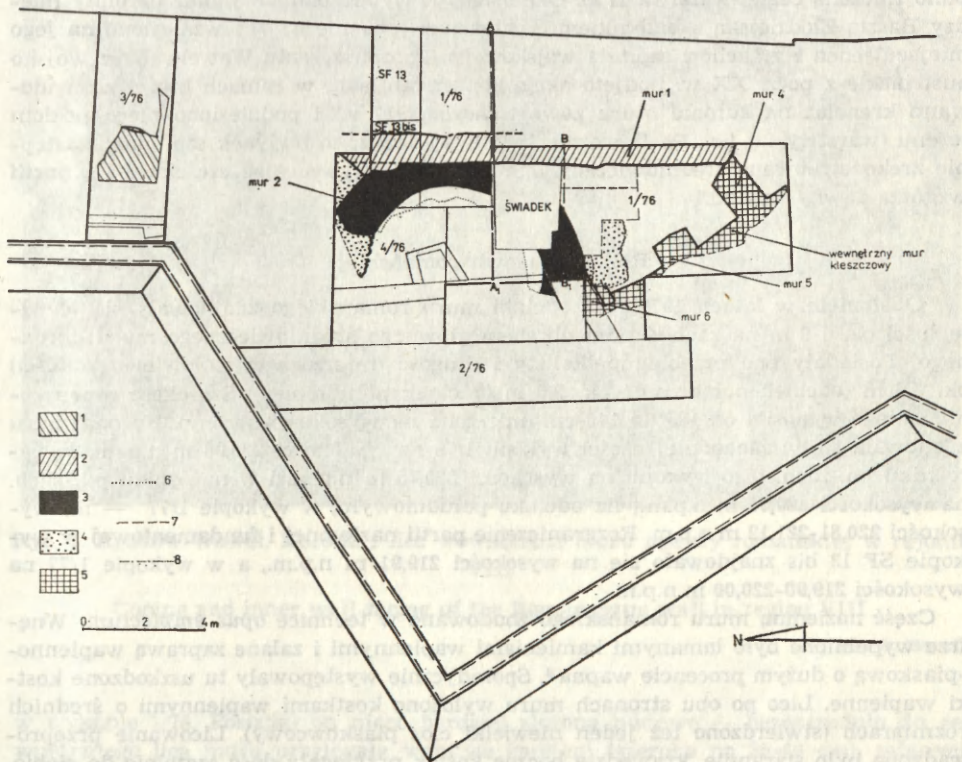
Na podstawie obserwacji terenowych oraz analizy źródeł historycznych można odtworzyć następujący obraz przemian w tym rejonie od momentu zniszczenia i rozebrania budowli romańskiej: w początkach 2 poł. XIII w., najprawdopodobniej w roku 1265, po uprzedniej niwelacji terenu, wzniesiono biegnący nad resztkami budowli romańskiej wał obronny z gliny z niewielką domieszką humusu i miejscami piasku. Spoczywał on na stosunkowo cienkiej ławie kamiennej, posiadał konstrukcje drewniane (zapewne przekładkowe). Na przełomie XIII i XIV w. wał ten zastąpiono kamiennym murem obronnym z Basztą Żłodzijską, początkowo trochę niższym, nieco cofniętym do wewnątrz w stosunku do linii wału przebiegającego po krawędzi wzgórza. Wał przysypczalnie uległ — przynajmniej częściowej — niwelacji. Za panowania Władysława Jagiełły, ok. roku 1393, podwyższono główny mur obronny<sup>3</sup>, wtedy też lub na przełomie XIV/XV w. zbudowano przed nim w odległości ok. 3-4 m dodatkową linię obronną w postaci przedmurza (mur 1) z płytkimi prostokątnymi wykuszami. Sądząc z zachowanej partii fundamentowej, był to mur wykonany z łamanego wapienia spojonego zaprawą piaskowo-wapienną. Jego grubość wynosiła ok. 1 m, wysokość ok. 3-3,5 m, korona zakończona była krenelażem. Fundament posadowiono w resztach

<sup>2</sup> Tabelaaryczne zestawienie warstw nowożytnych — patrz tab. 1.

<sup>3</sup> J. Długosz, *Historiae Poloniae libri XII*, Cracoviae 1873, t. III, s. 505.



glinianego wału oraz w innych warstwach późnośredniowiecznych (m. in. V b). Wobec znacznego zniszczenia miedzymurza przez wkopy nowożytne trudno powiedzieć, jak dużą miąższość posiadały warstwy narastające tam w okresie od XV do 2 poł. XVIII w., kiedy to w roku 1786 zwalono mocno zrujnowane przedmurze i uporządkowano stok wzgórza w związku z przyjazdem do Krakowa króla Stanisława Augusta. W roku 1790, z powodu groźby wojny z Austrią, podjęto budowę fortyfikacji kleszczowych na stokach zachodnich Wawelu. Mury te, sadwione głęboko, aż na samej skale, stały się przyczyną najpoważniejszego zniszczenia wcześniejszych nawarstwień w tym rejonie, w tym też resztek budowli romańskiej oraz znacznej części fundamentu przedmurza. Na odcinku koło Baszty Złodziejskiej system fortyfikacji kleszczowych składał się z podwójnego muru z miedzymurzem przeznaczonym na pomieszczenie dział oraz mniejszymi strzelnicami dla broni ręcznej. Mur zewnętrzny o grubości ok. 2 m wzniesiony był z cegły, wewnętrzny zaś, gruby na ok. 1 m — z kamienia oblicowa-



Ryc. 2. Kraków-Wawel. Usytuowanie relikwów architektonicznych w obrębie wykopów z lat 1976-1977 w rejonie VIII:

1 — mur przedromański; 2 — mur 1; 3 — mur 2; 4 — fundament muru 2; 5 — mury 4, 5, 6 i wewnętrzny mur kleszczowy; 6 — granica zachowania poziomu płytek wapiennych wewnątrz apsydy; 7 — granica odsłonięcia fundamentu muru 2 i poziomów bruków na zewnątrz apsydy; 8 — granica odsłonięcia korony wewnętrznego muru kleszczowego

Position of architectural relics within trenches explored in 1967-1977 in region VIII  
 1 — pre-Romanesque wall; 2 — wall 1; 3 — wall 2; 4 — foundation of wall 2; 5 — walls 4, 5 and 6 and internal wall of the tongs fortification; 6 — limit of the preserved level of limestone tiles inside the apse; 7 — limit of uncovered wall 2 and pavement levels outside the apse; 8 — limit of uncovered coping of internal wall of the tongs fortification

Rys. J. Blitek i L. Bolek



nego od zewnątrz cegłą. Na skutek wypadków politycznych umocnień tych nie dokończono. Były one prowizorycznie przystosowane do obrony podczas powstania kościuszkowskiego w 1794 r. W czasie pierwszej okupacji Wawelu (1796-1809) Austriacy nie prowadzili tu żadnych poważniejszych prac, dopiero za rządów Senatu Wolnego Miasta Krakowa, w latach 1827-1831 podjęto dużą akcję porządkową, która objęła m. in. zasypanie przestrzeni pomiędzy murami kleszczowymi gruzem z wyburzanych stopniowo budynków tzw. miasteczka gotyckiego (w centralnej i zachodniej części wzgórza wawelskiego). Mur wewnętrzny zniknął wtedy zupełnie pod nasypami, na murze zewnętrznym nadbudowano niewysoki ceglany parapet. Stok zasypisk umocniono warstwą glinki (II f<sub>2</sub>) i obsadzono drzewami. Po zajęciu Wawelu w roku 1846 Austriacy rozpoczęli wznosić wokół niego system nowych umocnień. W części zachodniej wykorzystali istniejący zewnętrzny mur kleszczowy, podwyższyli go wątkiem ceglano-kamiennym i zaopatrzyli w krenelaż na koronie. Zasypano i wyrównano przestrzeń między murem gotyckim a zewnętrznym i tak ukształtowany poziom wysypiano tłuczoną cegłą (warstwa II a). Około 1860 r. wyburzono stary mur obronny między Basztą Złodziejską a budynkiem Seminarium (obecnie nr 7) i wzniesiono na jego miejscu jeden z gmachów szpitala wojskowego. Po opuszczeniu Wawelu przez wojsko austriackie z pocz. XX w. podjęto akcję konserwatorską, w ramach której zlikwidowano krenelaż na koronie muru zewnętrznego (1917 r.) i podniesiono nieco poziom terenu (warstwy I d-I e). Po II wojnie światowej zburzono budynek szpitalny, następnie zrekonstruowano średniowieczny mur obronny przywracając częściowo tej partii wzgórza dawny wygląd.

#### Relikty budowlı romańskiej

Odsłonięte w latach 1976-1977 odcinki muru romańskiego znajdowały się w odległości ok. 4-8 m na zachód poza obrębem głównego średniowiecznego muru obronnego. Posiadały one przebieg półkolisty i długość (mierzona w połowie szerokości) ok. 7,5 m (odcinek północny) i ok. 2,5 m (odcinek południowy). Szerokość muru romańskiego wynosiła od 135 do 140 cm (mierzona na wysokości korony). Korona muru zachowała się w zachodniej części wykopu 1/76 na wysokości 220,96 m n.p.m., w narożniku pn.-zach. tego wykopu na wysokości 220,75 m n.p.m. i w narożniku pd.-zach. na wysokości 220,51 m n.p.m.; na odcinku południowym, w wykopie 1/77 — na wysokości 220,81-221,12 m n.p.m. Rozgraniczenie partii naziemnej i fundamentowej w wykopie SF 13 bis znajdowało się na wysokości 219,91 m n.p.m., a w wykopie 1/77 na wysokości 219,90-220,00 m n.p.m.

Część naziemną muru romańskiego zbudowano w technice *opus emplectum*. Wnętrze wypełnione było łamanymi kamieniami wapiennymi i zalane zaprawą wapienno-piaskową o dużym procencie wapna<sup>4</sup>. Sporadycznie występowały tu uszkodzone kostki wapienne. Lico po obu stronach muru wyłożono kostkami wapiennymi o średnich rozmiarach (stwierdzono też jeden niewielki cios piaskowcowy). Licowanie przeprowadzone było starannie, krawędzie boczne kostek przylegały dość szczelnie do siebie, fugi oraz wszelkie nierówności lica wypełniono zaprawą, co uniemożliwia dokładne odczytanie wymiarów budulca. Partia naziemna muru zachowała się maksymalnie do wysokości 1 m. W obrębie wykopu 4/76 odsłonięto część fundamentu tego muru. Przebiegał on po linii w przybliżeniu prostej, na przedłużeniu zniszczonej w tym miejscu partii naziemnej. Fundament wykonany był z łamanych kamieni wapiennych, przeważnie średniej wielkości, bez użycia zaprawy (ryc. 4). Przestrzeń pomiędzy kamieniami wypełniono gliniastym humusem. Inny fragment fundamentu odkryto

<sup>4</sup> Skład procentowy zaprawy w murze nr 2 przedstawia się dla dwu analizowanych próbek następująco: piasek — 32 i 51%, CaCO<sub>3</sub> — 66 i 48%, innych substancji 1,2 i 0,8%. Analizę wykonała dr inż. M. Wirska-Parachoniak z Instytutu Historii Techniki AGH w Krakowie.





Rys. 3. Kraków-Wawel. Korona i lico wewnętrzne muru apsydy romańskiej w rejonie VIII

Coping and inner wall facing of the Romanesque wall in region VIII

Fot. J. Barcik

w wykopie 1/76. Posiadał on nieco bardziej złożoną budowę — bezpośrednio do zewnętrzno-licca muru przylegała warstwa kamieni (szeroka na 35-40 cm), zalanych zaprawą wapienną. W dalszej partii nie użyto już zaprawy. Południowa kraweź łąwy fundamentowej przebiegała na zewnątrz poza licem muru w odległości ok. 1,5 m od niego. W sondzie SF 13 bis uchwycono wschodnią kraweź łąwy fundamentowej, wykonanej w podobnej technice, lecz z zastosowaniem większej ilości zaprawy w górnej partii. Przy wewnętrznym licu muru, na granicy jego części naziemnej i fundamentowej odsłonięto poziom niewielkich płytek wapiennych ułożonych na wylewce zaprawy i pokrytych również zaprawą wapienną. Stanowiły one pas o szerokości 30-50 cm, biegnący przy samym murze. Należy sądzić, że na nich dopiero ułożona była właściwa posadzka z płyt piaskowcowych, których fragmenty znaleziono w warstwie destrukcji budowli. Część naziemna muru romańskiego zachowała się w stosunkowo dobrym stanie. Na koronie i w licach widoczne są cztery pionowe pęknięcia, biegnące przez całą wysokość, w postaci szczelin o szerokości od kilku milimetrów do 4 cm.





Ryc. 4. Kraków-Wawel. Fragment wewnętrznego lica muru romańskiego wraz z od-cinkiem fundamentu

Fragment of inner facing of the Romanesque wall with a section of the foundation

Fot. J. Barcik

Korona muru, stosunkowo równa, obniża się w pobliżu północnej ściany wykopu 4/76, urywając się następnie w sposób gwałtowny. Zniszczeniu uległ również biegnący nieco dalej odcinek fundamentu. Do południowo-zachodniej części tego muru (wykop 1/77) dobudowano jeden z elementów fortyfikacji kleszczowych (mur 6).

#### Kontekst stratygraficzny budowli romańskiej

Rozważając problem warstw kulturowych związanych z budowlą romańską trzeba zwrócić uwagę na fakt, że zachodzą dosyć poważne różnice pomiędzy ich układem wewnątrz apsydy (muru 2) a sekwencją po stronie zewnętrznej, w kierunku południowym<sup>5</sup>. Wewnątrz układ ten jest stosunkowo mało skomplikowany — fundament wkopany jest w warstwę VI a<sub>2</sub>, wkop sięga aż do rozsypisk wczesnośredniowiecznego wału „wiślańskiego”. Jest on wypełniony w całości kamieniami fundamentu, wolne przestrzenie pomiędzy kamieniami wypełnione są gliniastym humusem. Poziom

<sup>5</sup> Patrz tab. 2 oraz rysunki profili.



użytkowy wnętrza stanowiła prawdopodobnie posadzka z płyt piaskowcowych, ułożona na wylewce zaprawy wapiennej. Sądząc z nielicznych zachowanych fragmentów płyt o grubości 4-5 cm, poziom ten znajdował się na głębokości 220,20 m n.p.m. Posadzka została niestety w całości wyrabowana. Do poziomu korony muru zalegała we wnętrzu warstwa destrukcji ( $V f_1$ - $V f_6$ ), złożona z zaprawy, kamieni i dość licznych kostek wapiennych, miejscami, zwłaszcza w części południowej, z soczewami humusu oraz glinki ( $V f_4$ ). Powyżej, w stronę południową zalegała gliniasta warstwa  $V b_1$  — pozostałość XIII-wiecznego wału obronnego. W części zachodniej i północnej wykopu 4/76 warstwy te zostały zniszczone całkowicie przez wkop na nowożytny mur kleszczowy.

Na zewnątrz apsydy, w kierunku południowym (wykop 1/77) sytuacja przedstawiała się inaczej. Tutaj wykop fundamentowy był bardzo szeroki, schodkowo biegnący w głąb, wypełniony niezbyt szczelnie kamieniami ławy fundamentowej. Poza zasięgiem wkopu zalegała warstwa  $VI a_1$  ze szczątkami zabudowy drewnianej. Ponad ławą fundamentową, w pobliżu apsydy, na głębokości 220,10-220,15 m n.p.m. wyróżniono poziom zarzucony płaskimi, niewielkimi okrzeskami wapiennymi, pochodzącymi zapewne z obróbki kostek, którymi wykładano lico naziemnej części muru. Kilka centymetrów wyżej rozpościerał się drugi kolejny poziom użytkowy, wyłożony okrzeskami oraz kamykami wapiennymi nieco większych rozmiarów, nad nimi zaś — jeszcze jeden poziom, bardzo mocno zniszczony, wysypany większymi kamieniami wapiennymi. Pomiędzy środkowym a najwyższym poziomem zalegała cieniutka warstewka spalenizny, świadcząca być może o pożarze pobliskiej zabudowy<sup>6</sup>. Wyżej spoczywała warstwa destrukcji budowli ( $VI a_2$ ), rozciągająca się jedynie w pobliżu muru apsydy. Nad nią oraz dalej w kierunku południowym odsłonięto kilkunastocentymetrową warstwę niwelacyjną ( $VI a_4$ ). Na głębokości ok. 220,40-220,80 m n.p.m. zalegała warstwa jasnej glinki ze śladami konstrukcji drewnianych ( $VI a_5$ ), przylegająca do muru romańskiego, o stropie wyraźnie zniwelowanym. Jest to najprawdopodobniej nikiła resztką umocnienia obronnego pozostającego zapewne w związku z romańską budowlą kamienną (murem 2), być może ślad jej inkastelacji. Nad stropem tej glinki zalegała sekwencja kilku warstw niwelacyjnych oraz śladów dalszej destrukcji i rozbioru murów apsydy ( $V/VI a$ - $V/VI c$ ). Na najmłodszej warstwie destrukcji ( $V/VI a$ ) oraz na koronie muru 2 spoczywała ława kamienna wału obronnego z początku 2 poł. XIII w. Wszystkie starsze nawarstwienia w części zachodniej wykopu 1/77 zostały zniszczone podczas budowy fortyfikacji kleszczowych.

#### Zabytki archeologiczne i problem datowania warstw związanych z budowlą romańską

Podczas eksploracji uzyskano z warstw średniowiecznych prawie wyłącznie materiał ceramiczny (fragmenty naczyń). W warstwach pochodzących z okresu przed budową muru romańskiego średnio ponad 30% ułamków naczyń wykonanych było z surowca grupy „A” wg Żakiego<sup>7</sup> (ceramika „biała”), cała zaś reszta fragmentów naczyń składała się prawie wyłącznie z egzemplarzy reprezentujących grupę „C”. W warstwach z okresu użytkowania budowli grupa „A” stopniowo zanika, prawie cały inwentarz stanowi grupa „C”. Prawie wyłącznie występują brzegi naczyń typów III, IV oraz nieliczne typy VIII wg Żakiego. Naczynia były zdobione pasmami linii falistych lub poziomych, czasem kombinacją tych dwu rodzajów ornamentu. Niezbyt licznie występujące znaki garncarskie na dnach naczyń posiadają motywy wyłącznie geometryczne. W pozostałościach wału nad murem romańskim ( $V b_1$ ) wystąpiła głównie

<sup>6</sup> Nie zauważono śladów działalności ognia w murze apsydy oraz w warstwie destrukcji budowli romańskiej.

<sup>7</sup> A. Żaki, *Archeologia Małopolski wczesnośredniowiecznej*, Wrocław 1974, rozdz. „Ceramika”.





Ryc. 5. Poziomy użytkowe po zewnętrznej stronie apsydy romańskiej. Widoczny południowy odcinek apsydy i część ławy fundamentowej (w lewym dolnym rogu)

Usage level on the outer side of the Romanesque apse. Southern section of the apse and part of the foundation offset (left bottom corner) are visible

Fot. J. Barcik

ceramika grupy „C”, w późniejszej warstwie V<sub>a</sub> — ceramika grupy II późnośredniowiecznej (wg A. Wałowy<sup>8</sup>, a także dość spory procent ceramiki grupy III z polową<sup>9</sup>. Uwzględniając fakt sztucznie zawyżonego w warstwach dolnych (wkop fun-

<sup>8</sup> Klasyfikacja stosowana przez autorkę w opracowaniach materiałowych (M. Kwapieniowa, T. Lenkiewicz, B. Nowogrodzka, K. Radwański, A. Wałowy, *Badania na Okole w Krakowie w 1963 r.*, Mat. Arch., t. IX: 1968 s. 203-288 oraz T. Lenkiewicz-Radwańska, W. Morawski, A. Wałowy, *Badania na Okole w Krakowie w 1967 r., wykop V na Skarpie*, Mat. Arch. t. XI: 1970, s. 219-266) i przedstawiona na posiedzeniu Komisji Archeologicznej O/PAN w Krakowie dn. 1 XII 1977 r. (odczyt pt. „Późnośredniowieczna ceramika Krakowa”).

<sup>9</sup> Szczegółowe zestawienie procentowe surowców ceramicznych oraz typów brzegów naczyń przedstawiono w tab. 3 (zob. na końcu książki). Surowiec naczyń wczesnośredniowiecznych podzielono tam — dla łatwiejszego porównania z obszarem Krakowa — wg grup wydzielonych przez Radwańskiego (K. Radwański, *Wczesnośredniowieczna ceramika Krakowa i zagadnienie jej chronologii*, Mat. Arch., t. IX: 1968, s. 5-89), a surowiec naczyń późnośredniowiecznych oznaczono wg podziału A. Wałowy.





Ryc. 6. Kraków-Wawel. Profile brzegów naczyń z warstw powiązanych z nowo odkrytym kościołem romańskim w rejonie VIII

Numery oznaczają sygnatury zespołów zabytków (patrz załączone tab. 2 i 3)

Profiles of pottery rims from layers connected with the newly discovered Romanesque church in region VIII

Numbers denote complexes of artifacts (cf. tables 2 and 3)

Rys. J. Błitek i L. Bolek



damentowy, warstwy częściowo zniwelowane) wskaźnika ceramiki „białej” datować możemy te warstwy (włączając tu chronologię względną) na 2 poł. XI-1 poł. XII w. lub nawet — nieco bardziej zawężwszy ten okres — na przełom XI/XII w. Czas użytkowania budowli to głównie wiek XII oraz początek (ewentualnie do połowy) XIII w. Materiał z warstw destrukcji budowli określa moment jej zniszczenia na 1 poł. lub ok. poł. XIII w. Ceramikę ze zniwelowanej warstwy gliny (VI a<sub>1</sub>) datować można w przybliżeniu na 1 poł. XIII w., resztki młodszego wału (V b<sub>1</sub>) na początek 2 poł. XIII w., warstwę V a<sub>1</sub> z czasu budowy przedmurza — na 2 poł. XIV w. Tę ostatnią datę zdaje się potwierdzać znaleziony w tej warstwie grosz praski Jana Luksemburczyka<sup>10</sup>.

#### Technika murarska budowli romańskiej

Najbardziej charakterystycznym elementem romańskim użytym w omawianej tutaj budowli wawelskiej była kostka z kamienia wapiennego, zastosowana do oblicowania obydwu stron muru 2. Budulec ten charakteryzuje się — jak się wydaje — pewną zmiennością w czasie, głównie odnośnie do wymiarów. W tym aspekcie przeprowadziliśmy badania odkrytego obiektu. Jak już wspomniano wyżej, lica muru pokryte były w większości zaprawą, co w zasadzie uniemożliwiło wykonanie odpowiednich pomiarów. Metryczne określenie wielkości powierzchni licowych kostek uzyskano z materiału pochodzącego z warstw destrukcji budowli, poprzez pomiar 109 sztuk tych elementów budowlanych. Otrzymano następujące zestawienie: wysokość kostek wahała się w granicach od 6,0 do 15,0 cm, przy wartości średniej 10,1 cm. Długość zawierała się w przedziale 10,0-28,5 cm. W celach porównawczych wykonano fragmentaryczne pomiary ścian II romańskiej katedry wawelskiej (w krypcie Św. Leonarda oraz na Wieży Srebrnych Dzwonów)<sup>11</sup>, otrzymując dane: wysokość kostek licowych wynosiła 7 (5,5?)-15 cm (wartość średnia 11,6 cm), długość 10,5-31,0 cm. Ze względu na prace konserwatorskie przeprowadzone przed II wojną przez prof. A. Szyszko-Bohusza należy powyższe stwierdzenie traktować z całą ostrożnością, jednakże trudno nie zauważyć pewnej zbieżności tych danych liczbowych z cytowanymi powyżej parametrami charakteryzującymi budowlę w rejonie VIII Wawelu. W obu budowlach użyto kamienia wapiennego. Z kolei czyniąc porównanie z kościołem romańskim opactwa tyńckiego znajdujemy wysokość kostek — ok. 10,0 cm (w apsydzie głównej)<sup>12</sup>. Użyto tam jednak innego materiału budowlanego — piaskowca. Przeciętna wysokość wapiennych kostek lica ściany południowej oraz wschodniej młodszego, XII-wiecznego kościoła Św. Salwatora w Krakowie wynosi 10,0 cm, jednakże rozpiętość wymiarów jest nieco mniejsza, zawiera się w przedziale 7,0-14,5 cm. Z kolei, młodszy kościół Św. Wojciecha, o średniej wysokości kostek 9,9 cm, posiada typowy wątek *petit appareil* (rozpiętość wysokości 7,0-11,5 cm przy długości kostek 10,0-25,5 cm). Od tej grupy kościołów wyraźnie odróżniają się budowle o większych i bardziej zróżnicowanych rozmiarach elementów licowych. Należy do nich kościół Św. Andrzeja, gdzie średnia wysokość kostek wapiennych wynosi 11,8 cm, a poszczególne wymiary zawierają się w granicach 6,5-18,0 cm, przy długościach rzędu 12,5-43,0 cm. Jeszcze wyższą średnią wartością wysokości kostek charakteryzuje się I romańska katedra wawelska — 12,4 cm (od 6,0 do 17,5 cm). Ich długości mieszczą się w przedziale 14,0-17,5 cm. Jeżeli chodzi o rodzaj kamienia użytego do licowania murów świątyń romańskich,

<sup>10</sup> Szczegółowe rozpoznanie monety wykonała J. Fraś.

<sup>11</sup> Starano się przy tym zbadać takie fragmenty ścian, które ulec mogły stosunkowo najmniejszym przeróbkom podczas prac konserwatorskich. W murach II katedry romańskiej występują poza tym większe kostki wapienne o wymiarach ca 19 × 25 cm (*moyen appareil*), których brak w budowli z rejonu VIII Wawelu.

<sup>12</sup> K. Żurowska, *Romański kościół opactwa benedyktynów w Tyńcu*, „Folia Historiae Artium”, t. VI/VII: 1971, s. 53.





Ryc. 7. Kraków-Wawel. Profile brzegów naczyń z warstw powiązanych z nowo odkrytym kościołem romańskim w rejonie VIII

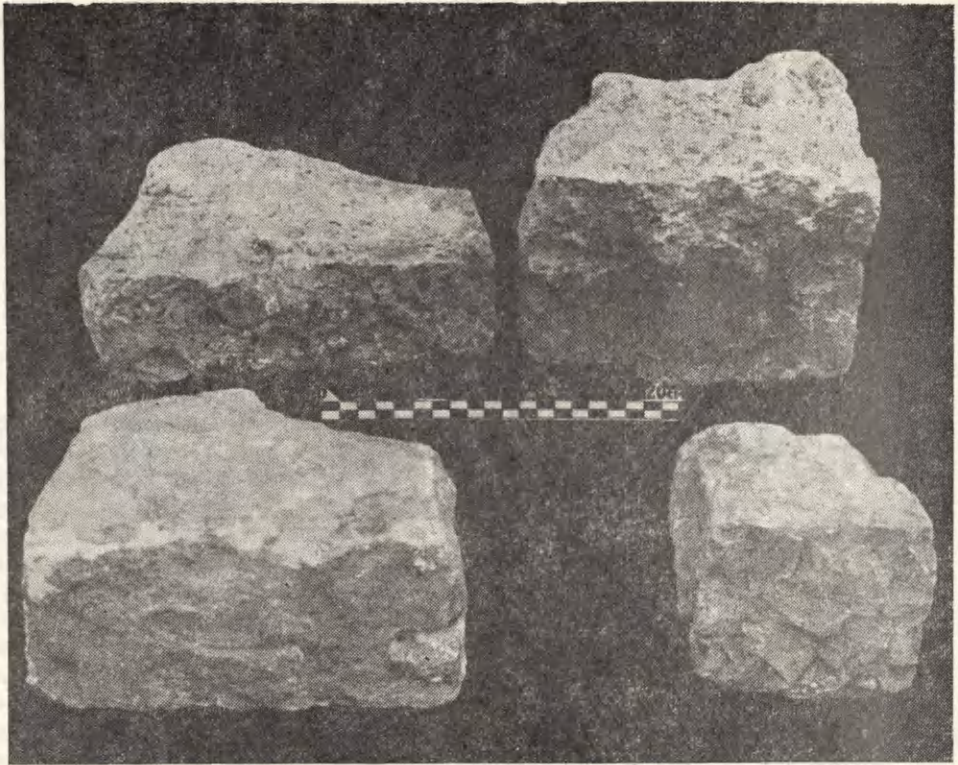
Numery oznaczają sygnatury zespołów zabytków (patrz załączone tab. 2 i 3)

Profiles of pottery rims from layers connected with the newly discovered Romanesque church in region VIII

Numbers denote complexes of artifacts (cf. tables 2 and 3)

Rys. J. Blitek i L. Bolek





Ryc. 8. Kraków-Wawel. Najbardziej charakterystyczne egzemplarze kostek z kamienia wapiennego pochodzących z destrukcji budowli romańskiej w rejonie VIII

Characteristic examples of limestone cubes from the ruined Romanesque building in region VIII

Fot. J. Barcik

obserwujemy i tutaj pewną zmienność w miarę upływu czasu. W murach I romańskiej katedry i kościoła tynieckiego występuje głównie piaskowiec. Kamień piaskowcowy na przemian z warstwami wapienia posłużył do licowania dolnych partii kościoła Św. Andrzeja. Ale już II romańska katedra zbudowana została bez użycia do lica piaskowca. Ma tu miejsce wg. K. Zurowskiej przełom techniczny (przejsięcie na materiał wapienny) na początku XII w.<sup>13</sup> Zaznacza się on także w Tyńcu, w okresie pomiędzy budową kościoła a wzniesieniem budynków klasztoru<sup>14</sup>. Należałoby w tym kontekście powrócić jeszcze do nowo odkrytej budowli wawelskiej, wzniesionej (sądząc z zachowania reliktyw) prawie całkowicie z wapienia, co może wskazywać na jej metrykę przypadającą powyżej 1100 r. Trzeba jednak dodać, że w warstwie destrukcji wystąpiły w niezbyt wielkiej ilości ułamki i większe fragmenty piaskowca, co świadczyłoby być może o użyciu tego materiału w wyższych partiach naziemnych muru. Konstrukcja fundamentu bez użycia zaprawy występuje również w murach klasztoru tynieckiego, gdzie ławę fundamentową ułożono bez materiałów wiążących<sup>15</sup>.

<sup>13</sup> *Op. cit.*, s. 102-103. Z wyjątkiem detali architektonicznych i ciosów narożnikowych.

<sup>14</sup> *Op. cit.*, s. 103. Kościół tyniecki był ukończony ok. 1100 r.; rozpoczęła się wówczas budowa klasztoru.

<sup>15</sup> *Op. cit.*, s. 73-74.



Zbliżone zjawisko obserwujemy w fundamencie XII-wiecznego kościoła Św. Salwatora, gdzie kamienie wapienne łączone były gliną<sup>16</sup>. Niezwykła szerokość ławy fundamentowej budowli wawelskiej nie posiada w zasadzie odpowiednika wśród romańskich kościołów Krakowa. Częściową analogię pod tym względem stanowią tylko mury kościoła Św. Andrzeja<sup>17</sup>.

#### Próba rekonstrukcji formy budowli romańskiej

Na podstawie rozpoznań terenowych najbardziej prawdopodobne wydaje się stwierdzenie, że opisany wyżej fragment półkolistego muru stanowi pozostałość jednonawowego kościoła romańskiego, ściślej mówiąc — apsydy zamykającej budowlę od strony wschodniej<sup>18</sup>. Niewątpliwie wskazówką do przyjęcia takiego właśnie wariantu rekonstrukcyjnego wydaje się sam rozmiar domniemanej apsydy — wewnętrzna średnica wynosi tu ok. 6 m. Wyklucza to, naszym zdaniem, interpretację tej części obiektu jako wschodniej apsydy kościoła okrągłego (rotundy). Dodatkowym argumentem jest fakt zmiany kierunku przebiegu fundamentu (lico zewnętrzne w części pn.-zach.) w stosunku do półkola, jakie wyznacza przedłużenie lica zachodniej partii naziemnej muru (ryc. 2). Świadczy to zapewne o załamaniu muru w tym miejscu i przejściu (z łuku) w linię prostą. Poza wymienionymi wyżej informacjami przemawiającymi za prezentowanym tutaj hipotetycznym wariantem rekonstrukcyjnym (ryc. 9) nie uzyskano w toku badań terenowych żadnych danych, które mogłyby sugerować inną koncepcję odtworzenia zarysu i bryły kościoła. Powstaje tutaj z kolei pytanie, czy pomimo tak fragmentarycznego zachowania murów można bliżej sprecyzować rozmiary świątyni. Odpowiedź jest oczywiście niezmiernie trudna i wyniki dociekań na ten temat traktować można jedynie jako hipotezę badawczą, ale nasuwa się tu pewien związek pomiędzy relikdami kościoła w rejonie VIII a innymi budowlami romańskimi Krakowa, w szczególności z II romańską katedrą na Wawelu. Otóż podstawowym zagadnieniem dla odtworzenia związków metrycznych zachodzących w obrębie budowli było ustalenie miary, jaką posłużono się przy jej rozplanowaniu. Dysponowaliśmy do tego celu wyłącznie dwoma wymiarami — grubości muru (135-140 cm) oraz średnicy łuku apsydy (ok. 600-602 cm)<sup>19</sup>. Jak wykazały obliczenia, wielkości te odpowiadają wielokrotnościom tzw. dłoni większych („palmi majores” = 22,31 cm)<sup>20</sup> i w tym wypadku wyrażone są liczbami całkowitymi (oczywiście z niewielkimi odchyleniami). Tak więc grubość muru wynosi 6 „dłoni” (różnica względem wielkości idealnej — 1,2-ok. 6,2 cm), średnica apsydy — ok. 27 „dłoni”. Liczby te w obu przypadkach podzielne są przez 3, co poprzez analogię z relacjami w krypcie Św. Leonarda<sup>21</sup> pozwala wysunąć przypuszczenie, że i tutaj jako podstawowa jednostka mierni-

<sup>16</sup> Z. Świechowski, *Budownictwo romańskie w Polsce. Katalog zabytków*, Wrocław 1963, s. 134.

<sup>17</sup> W. Zin, W. Grabski, *Wczesnośredniowieczne budowle Krakowa w świetle ostatnich badań*, „Rocznik Krakowski”, t. XXXVIII: 1966, ryc. 46.

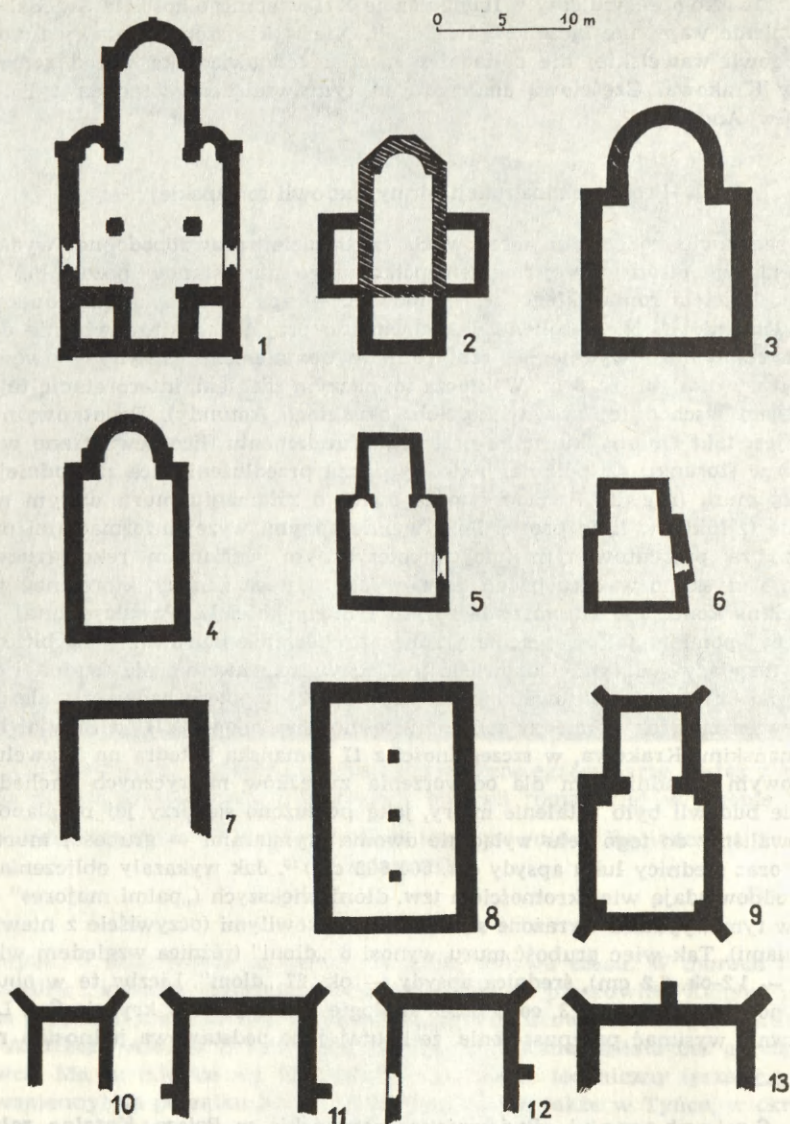
<sup>18</sup> Taką interpretację odkrytych reliktdów zaprezentowali autorzy na posiedzeniu Komisji Archeologicznej O/PAN w Krakowie dn. 21 II 1977.

<sup>19</sup> Wobec nierówności lica muru pomiar był niezwykle utrudniony; przyjęto średnią wartość kilku kolejnych pomiarów.

<sup>20</sup> Prawdopodobne jest również użycie stopy karolińskiej (33,29 cm). Wobec tak małej ilości wymiarów trudno jest wypowiedzieć się bardziej rozstrzygająco w tej kwestii. Zagadnienie miar zastosowanych w budowlach sakralnych Krakowa omawiają: T. Wojciechowski, *Kościół katedralny w Krakowie*, Kraków 1900, s. 181 i n. oraz J. Hawrot, *Pierwotny kościół Salwatora na Zwierzyńcu w Krakowie*, „Kwartalnik Architektury i Urbanistyki”, t. I: 1956, z. 2, s. 170. Wydaje się, że dociekania tam zawarte powinny ulec weryfikacji na podstawie dokładnych pomiarów architektonicznych.

<sup>21</sup> Wojciechowski, *op. cit.*, s. 171 i n.





Ryc. 9. Porównawcze zestawienie rzutów budowli sakralnych z terenu Krakowa (wraz z rekonstruowanym zarysem kościoła w rejonie VIII Wawelu):

1 — Św. Andrzej (wg S. Świszczowskiego, W. Zina i W. Grabskiego); 2 — Św. Salwator (faza starsza — wg W. Zina i W. Grabskiego, rekonstrukcja zakreskowana — wg Zina, wariant wcześniejszy); 3 — Św. Jerzy (?) wg J. Firleta i Z. Pianowskiego; 4 — Św. Jan (wg W. Zina i W. Grabskiego); 5 — Św. Wojciech (młodsza budowla kamienna wg K. Radwańskiego); 6 — Św. Benedykt (wg W. Zina i W. Grabskiego); 7 — Św. Mikołaj (wg W. Zina i W. Grabskiego); 8 — Św. Trójca (wg Z. Hendla i F. Kopyry); 9 — Św. Maria Magdalena (wg T. Lenkiewicz-Radwańskiej)

U dołu — zestawienie prosto zakończonych zamknięć partii wschodnich niektórych kościołów krakowskich: 10 — Św. Jerzy (faza gotycka, wg G. Leńczyka); 11 — Św. Mikołaj (faza wczesnogotycka, wg W. Zina i W. Grabskiego); 12 — Św. Krzyż (wg K. Bąkowskiego, bez skali); 13 — Św. Barbara (wg W. Zina i W. Grabskiego)



cza mógł służyć „łokieć” równy trzem „dłoniom” (ok. 67 cm)<sup>22</sup>. Wobec nikłego zachowania naziemnej partii kościoła w rejonie VII Wawelu traktujemy powyższe stwierdzenia jedynie jako jedną z możliwości. Uważamy, że na obecnym etapie badań można przyjąć kilka wariantów rekonstrukcji rzutu tej budowli (por. ryc. 9 i 10) zbliżonych do najczęściej występujących form niewielkich, jednonawowych kościołów romańskich. Kwestię wieży po stronie zachodniej pomijamy z racji zniszczenia tej partii obiektu. Wejście do kościoła mieściło się najprawdopodobniej w ścianie południowej, gdyż od tej strony był najdogodniejszy dostęp do budynku. Jeżeli chodzi o zamknięcie od strony wschodniej, budowla nawiązuje do starszych obiektów krakowskich zakończonych apsydami (I katedra romańska, Św. Andrzeja, starsza faza Św. Salwatora, Św. Jan), datowanych łącznie na okres od XII w. do połowy XIII w., odróżniając się od kościołów datowanych ogólnie na XII w. oraz kościołów XIII-wiecznych z zamknięciem prostokątnym lub prostym (ryc. 9). Można więc stwierdzić, że analiza elementów architektury kościoła romańskiego w rejonie VIII Wawelu zdaje się wskazywać na czas powstania tej budowli w przybliżeniu współczesny budowie II katedry krakowskiej.

#### Problem wezwania kościoła oraz źródeł historycznych

Brak przekazów historycznych, które można by łączyć w sposób bezpośredni z odkrytymi relikami budowli sakralnej w rejonie VIII. Na obecnym etapie badań wydaje się możliwa do przyjęcia hipoteza, że świątynia ta mogła nosić wezwanie Św. Jerzego, co wcale nie wyklucza jednak, iż mógł to być kościół o wezwanu, które nie dochowało się w przekazach historycznych do naszych czasów<sup>23</sup>.

<sup>22</sup> Fakt, że jedynie średnica (a nie promień) apsydy stanowi w przybliżeniu całkowitą wielokrotność „dłoni”, może wskazywać na to, iż podstawowe znaczenie posiadał tutaj bok kwadratu, w który wpisano łuk apsydy. Znaczenie kwadratów w rozplanowaniu rzutów budowli podkreślają: A. Miłobędzki, *Zarys dziejów architektury w Polsce*, Warszawa 1963, s. 18-19, 23; Z. Świechowski, *Wczesnośredniowieczny warsztat budowlany na przykładzie kolegiaty w Kruszwicy*, Kwart. HKM, t. II: 1954, z. 1-2; J. Zachwatowicz, *Sztuka polska przedromańska i romańska do schyłku XIII w.*, cz. III: Architektura, „Dzieje sztuki polskiej”, t. I, s. 148; Zurowska, *Romański kościół...*, s. 79-80. W przedstawionym wariantcie rekonstrukcyjnym nie rozważamy (wobec braku widocznych relików architektonicznych) zagadnienia wielkości i usytuowania uskoku pomiędzy apsydą a nawą, który najprawdopodobniej istniał w tym miejscu.

<sup>23</sup> Po odkryciu przez autorów muru apsydy po raz pierwszy przypuszczenie takie wysunął M. Fraś na podstawie występowania materiału romańskiego (kostki, detal architektoniczny) w warstwie destrukcji badanego m. in. przez siebie kościoła Św. Jerzego na dziedzińcu zewnętrznym zamku, przy równoczesnym braku murów romańskiej budowli sakralnej na tym miejscu. Warto wspomnieć, że A. Żaki zrekonstruował, na podstawie destrukcji, fazę romańską kościoła Św. Jerzego w pobliżu późniejszej budowli gotyckiej.

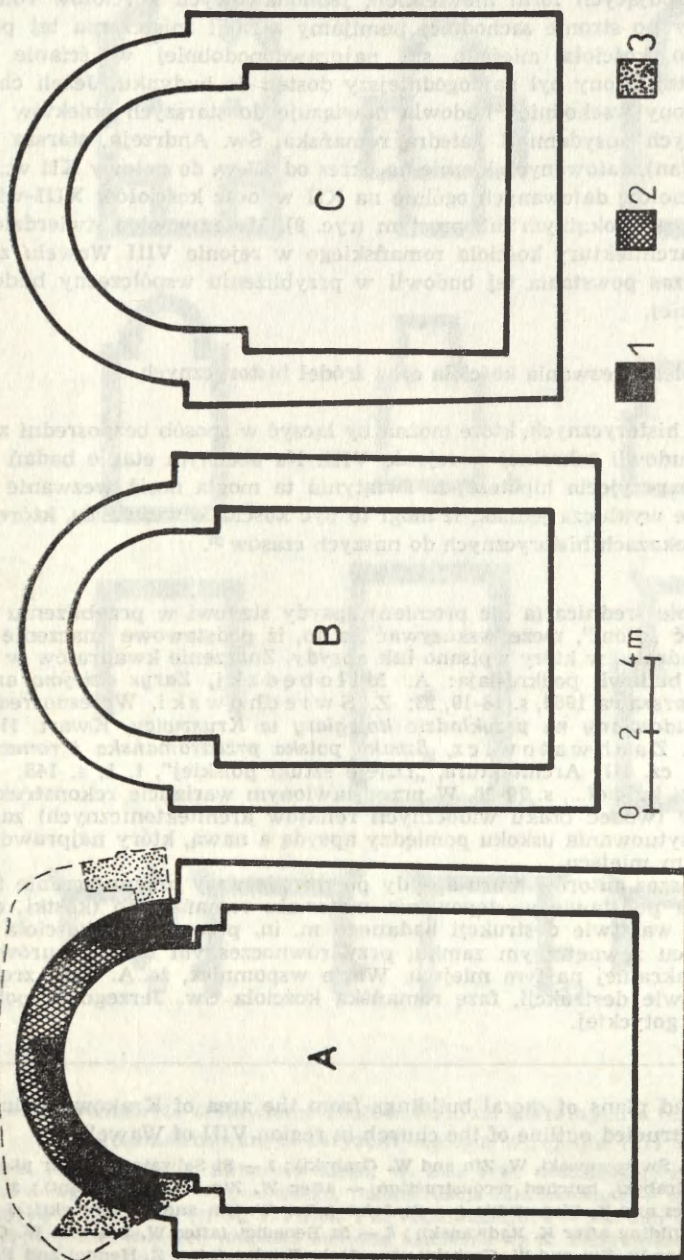
Comparison of ground plans of sacral buildings from the area of Kraków (including the reconstructed outline of the church in region VIII of Wawel):

1 — St Andrew (after S. Świszczowski, W. Zin and W. Grabski); 2 — St Salwator (earlier phase — after W. Zin and W. Grabski, hatched reconstruction — after W. Zin, earlier variant); 3 — St George (?) after J. Firlet and Z. Pianowski; 4 — St John (after W. Zin and W. Grabski); 5 — St Adalbert (later stone building after K. Radwański); 6 — St Benedict (after W. Zin and W. Grabski); 7 — St Nicolas (after W. Zin and W. Grabski); 8 — Holy Trinity (after Z. Hendel and F. Kopera); 9 — St Mary Magdalen (after T. Lenkiewicz-Radwańska)

Bottom — straightly ended eastern parts of certain churches of Kraków: 10 — St George (Gothic phase, after G. Leńczyk); 11 — St Nicolas (early Gothic phase, after W. Zin and W. Grabski); 12 — Holy Cross (after K. Bąkowski, without scale); 13 — St Barbara (after W. Zin and W. Grabski)

Rys. L. Bolek





Ryc. 10. Kraków-Wawel. Próby odtworzenia rzutu kościoła romańskiego w rejonie VIII:

1 — partia naziemna muru; 2 — partia naziemna pod świadkiem ziemnym; 3 — fundament

Attempted reconstructions of the ground plan of the Romanesque church in region VIII:

1 — the discovered part of the overground-wall; 2 — the presumed part of the overground-wall under the unexplored profile-block; 3 — the foundations



Samo powstanie kościoła Św. Jerzego na Wawelu Długosz odnosi do czasów Mieszka <sup>24</sup>. Po raz pierwszy w dokumentach kościół ten jest wymieniony w r. 1229 <sup>25</sup> jako „capella” w Krakowie, bez podania ścisłej lokalizacji, jednakże jest to dokument potwierdzający m. in. prawo patronatu benedyktynów tynieckich nad tym kościołem, co jest faktem bardzo istotnym. Następna wzmianka, tym razem już ze ściślejszą lokalizacją „na zamku krakowskim”, odnosi się do roku 1243, w związku z inkastelacją przez Konrada Mazowieckiego <sup>26</sup>. Kolejna, z roku 1274 wskazuje niewąznicznie na to, że kościół był w posiadaniu klasztoru tynieckiego <sup>27</sup>, a jego uposażenie stanowiła wieś Bronowice. Już w wieku XIV, ale jeszcze z czasu przed przebudową dokonaną przez Kazimierza Wielkiego, pochodzi dwukrotna wzmianka o kościele w spisach świętopietrza z lat 1325-1327 <sup>28</sup>. Jego rektor Lubtko posiadał wtedy dochody wynoszące 10 grzywien. Przed rokiem 1347 król przebudował drewniany (jak pisze Długosz) kościół Św. Jerzego na kamienny <sup>29</sup>; w roku 1347 nastąpiło jego poświęcenie, a następnie uposażenie.

Przy założeniu, że odkryte przez nas relikty romańskiego kościoła w rejonie VIII Wawelu można łączyć z wezwaniem Św. Jerzego, zgromadzone rozpoznania archeologiczne, architektoniczne i wzmianki źródeł pisanych pozwalają na odtworzenie wydarzeń związanych z tą budowlą w sposób następujący: wiadomość podaną przez Długosza o budowie kościoła Św. Jerzego przez Mieszka (nie pisze on bliżej — którego) zapewne odnieść będzie można do istniejącej w rejonie VIII budowli przedromańskiej, po bardziej pewnym stwierdzeniu jej sakralnego charakteru w toku dalszych badań terenowych <sup>30</sup>. Budowla romańska, jak na to wskazują materiały ceramiczne (szczególnie z poziomów użytkowych na zewnątrz apsydy), powstała najprawdopodobniej u schyłku XI w. lub na przełomie XI/XII w., mniej więcej współcześnie z II romańską katedrą. Być może realizował ją ten sam warsztat budowniczych za czasów biskupa Maurusa (który mógł być benedyktynem) <sup>31</sup>. Była to zapewne budowla orientowana, zakończona apsydą od wschodu, najprawdopodobniej jednonawowa, o niezbyt wydłużonej, zbliżonej do kwadratu nawie. Kościół Św. Jerzego mógł być od samego początku w posiadaniu benedyktynów (co mamy poświadczone w źródłach

<sup>24</sup> J. Długosz, *Liber beneficiorum dioecesis cracoviensis*, Cracoviae 1863, t. I, s. 592. Wiadomość ta może okazać się jeszcze bardziej prawdopodobna z chwilą bezspornego stwierdzenia sakralnego charakteru obiektu przedromańskiego w rej. VIII Wawelu.

<sup>25</sup> Kodeks dyplomatyczny tyniecki, Lwów 1871. „Ecclesiam s. Andreae cum omnibus pertinentis suis, et s. Nicolai et s. Georgii Cracovienses capellas cum pertinentis suis”. Autentyczności dokumentu (częściowo podważanej przez wydawcę) broni m. in. F. Papée, *Najstarszy dokument. Studium dyplomatyczne o akcie Idziego dla Klasztoru Benedyktynów w Tyńcu*, „Rozprawy i Sprawozdania Akademii Umiejętności, Wydz. hist.-filozof.”, t. 23: 1888, s. 271-279.

<sup>26</sup> Długosz, *Historiae...*, t. II, s. 293.

<sup>27</sup> Kodeks dyplomatyczny tyniecki (1871), nr XXIII. Wydawca uważa dokument za podejrzany. Jego autentyczności broni przekonywająco F. Piekosiński — recenzja kodeksu (wydania z 1875 r.) zamieszczona w „Przeglądzie Krytycznym”, t. II, 1876, s. 418-419.

<sup>28</sup> *Monumenta Poloniae Vaticana*, ed. J. Ptaśnik, Cracoviae 1913, t. I, s. 113 i 183.

<sup>29</sup> Długosz, *Liber...*, t. I, s. 592.

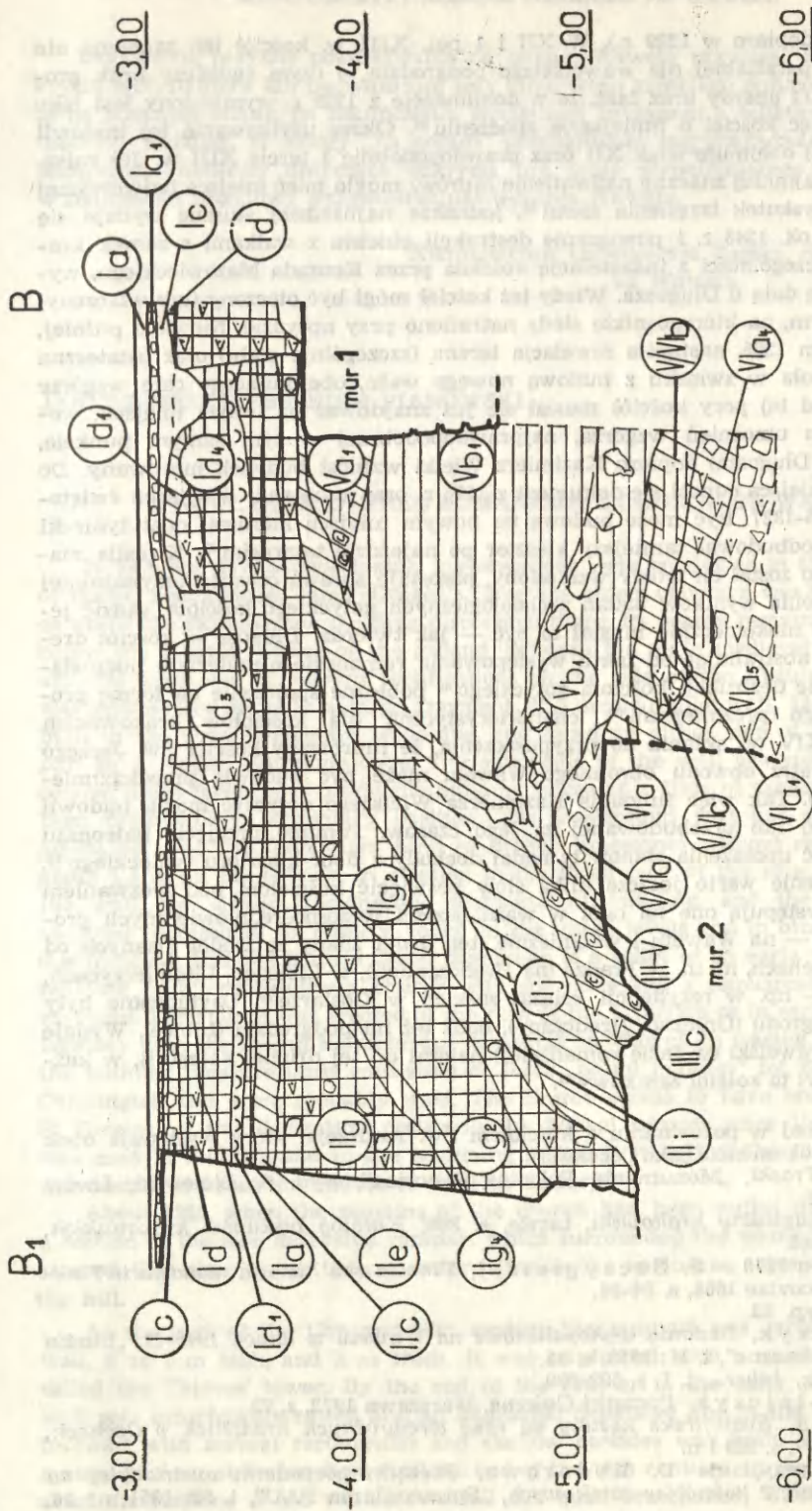
<sup>30</sup> Odcinek muru przedromańskiego odkryty został po raz pierwszy w 1953 r. przez A. Żakiego i określony jako relikwint linii obronnej (Żaki, *Archeologia...*, s. 61, 147, 157); prowadzone obecnie weryfikacyjne badania archeologiczne wskazują możliwość interpretacji tego obiektu jako części budowli sakralnej lub mieszkalnej (por. J. Fiolet, *Remont w mieszkaniu Smoka*, „Z otchłani wieków”, R. XLIII: 1977, nr 4, s. 284).

<sup>31</sup> A. Bochnak, *Grób biskupa Maura w krypcie Św. Leonarda na Wawelu*, „Rocznik Krakowski”, t. XXX: 1938, s. 247-248; S. Kętrzyński, *Polska X-XI wieku*, Warszawa 1961, s. 566 i 641.









Ryc. 12. Kraków-Wawel. Rejon VIII. Przekrój nawarstwień wzdłuż linii B-B<sub>1</sub> (patrz ryc. 2)  
 Legenda jak na ryc. 11

Region VIII. Section through layers on B-B<sub>1</sub> (cf. fig. 2)  
 Legend as in fig. 11

Opracowali J. Firlet i Z. Planowski  
 Rys. J. Blitek



historycznych dopiero w 1229 r.). W XII i 1 poł. XIII w. kościół ten zapewne nie pełnił funkcji parafialnej dla wawelskiego podgrodzia, o czym świadczy brak grobów na zewnątrz apsydy oraz fakt, że w dokumencie z 1229 r. wymieniony jest jako „capella”, a więc kościół o mniejszym znaczeniu<sup>32</sup>. Okres użytkowania tej budowli (faza romańska) obejmuje wiek XII oraz prawdopodobnie 1/3 XIII w. Jej zniszczenie (a przynajmniej znaczne nadwątlenie murów) mogło mieć miejsce najwcześniej w roku 1201 wskutek trzęsienia ziemi<sup>33</sup>, jednakże najbardziej słuszne wydaje się przyjęcie daty ok. 1243 r. i powiązanie destrukcji obiektu z walkami o zamek krakowski, a w szczególności z inkastelacją kościoła przez Konrada Mazowieckiego, wymienioną pod tą datą u Długosza. Wtedy też kościół mógł być otoczony (lub włączony) wałem obronnym, na którego nikle ślady natrafiono przy apsydzie. Niewiele później, bo przed rokiem 1265, nastąpiła niwelacja terenu (szczególnie wału) oraz ostateczna rozbiórka kościoła w związku z budową nowego wału, obejmującego całe wzgórze wawelskie<sup>34</sup>. Od tej pory kościół musiał się już znajdować na innym miejscu, wewnątrz obwodu umocnień wzgórze, najprawdopodobniej w tym samym punkcie, w którym (wg Długosza) dopiero Kazimierz Wielki wzniósł budynek murowany. Do tego już więc miejsca odnosi się dokument z 1274 r. oraz wzmianki w spisach świętopietrza z l. 1325-1327. Być może budową na nowym miejscu kierował opat tyniecki Kosmas, który odbudował tamtejszy klasztor po najeździe tatarskim<sup>35</sup>. Kwestia materiału, z jakiego został on wtedy wzniesiony, pozostaje sprawą otwartą przynajmniej do czasu ogłoszenia wyników badań archeologicznych gotyckiego kościoła, sądzić jednak można, że niekoniecznie musiał to być — jak twierdzi Długosz — kościół drewniany. Nawet abstrahując od faktu występowania romańskiego materiału budowlanego w warstwie destrukcji kościoła gotyckiego<sup>36</sup> pobieżne spojrzenie na formę prosto zakończonych prezbiterium<sup>37</sup>, charakterystyczną dla kościołów krakowskich z XIII i pocz. XIV w., skłania do przypuszczenia, że murowany kościół Św. Jerzego położony wewnątrz obwodu obronnego Wawelu może być budowlą przedkazimierzowską (ryc. 9). Tak więc fundacja Kazimierza Wielkiego dotyczyć mogła budowy wyremontowanej lub przebudowanej za jego czasów. Pomimo przejścia patronatu przez króla część uposażenia stanowiły nadal dochody z dóbr klasztoru tynieckiego<sup>38</sup>.

Na zakończenie warto jeszcze kilka słów poświęcić kościołom pod wezwaniem św. Jerzego. Występują one na ogół w ważniejszych wczesnośredniowiecznych grodach: w Polsce — na Wawelu i w Gnieźnie (ten drugi znany ze źródeł pisanych od 1220 r.)<sup>39</sup>, w Czechach, m. in. w Pradze (na Hradczanach), w Libicach, Litomierzycach, w Niemczech — np. w rezydencji książąt saskich w Goslarze<sup>40</sup>. Usytuowane były bądź wewnątrz grodu (Gniezno, Hradczany), bądź też na podgrodziu (Libice). Wydaje się, że kościół wawelski (w fazie romańskiej) należał do tej drugiej kategorii, w każdym razie nie był to kościół zamkowy<sup>41</sup>.

<sup>32</sup> Na przykład w porównaniu z kościołem Św. Andrzeja, który występuje obok w tym samym dokumencie jako „ecclesia”.

<sup>33</sup> *Rocznik Traski*, „Monumenta Poloniae Historica”, wyd. A. Bielowski, Lwów 1872, t. II, s. 336.

<sup>34</sup> *Rocznik kapitułny krakowski*, tamże, s. 308; *Katalog biskupów krakowskich*, tamże, t. III, s. 363.

<sup>35</sup> Około roku 1270 — S. Szczygielski, *Tinecia seu historia monasterii Tinecensis*, wyd. Cracoviae 1668, s. 54-56.

<sup>36</sup> Patrz przyp. 23.

<sup>37</sup> G. Leńczyk, *Badania wykopaliskowe na Wawelu w latach 1948-49*, „Studia Wczesnośredniowieczne”, t. II: 1953, s. 85.

<sup>38</sup> Długosz, *Liber...*, t. I, s. 592-599.

<sup>39</sup> G. Mikołajczyk, *Początki Gniezna*, Warszawa 1972, s. 73.

<sup>40</sup> J. Sláma, *Svatojirské kostely na raně středověkých hradištích v Cechach*, AR, t. XXIX: 1977, s. 269 i n.

<sup>41</sup> Podobnie przyjmuje D. Rederowa, *Początki gospodarki austriackiej na Wawelu. Zniesienie 2 kościołów zamkowych*, „Sprawozdania PAU”, t. 52: 1951, nr 10, s. 895.



Oczywiście przyszłe poszukiwania na terenie Wawelu przynieść mogą nowe odkrycia weryfikujące lub podważające tezy niniejszego krótkiego opracowania, jednakże na obecnym etapie, po zakończeniu eksploracji związanej z relikdami budowli romańskiej sądzimy, że należy „na gorąco” przynajmniej zasygnalizować niektóre najważniejsze problemy dotyczące odkrycia być może wypełniającego poważną lukę w znajomości zabudowy wczesnośredniowiecznego Wawelu.

*Kierownictwo Odnowienia Zamku Królewskiego  
na Wawelu*

JANUSZ FIRLET, ZBIGNIEW PIANOWSKI

A NEWLY DISCOVERED ROMANESQUE CHURCH ON WAWEL

In 1976 and 1977 archaeological investigations were conducted in the western part of Wawel near Smocza Jama (Dragon's Cave) the object of which was to get knowledge about the Romanesque building discovered there. Its scanty remains lay some 2 m below the present surface of the ground, between the main medieval defensive wall and the outer line of modern fortifications on the side of the Vistula. The building was represented by only a large fragment of a semicircular wall, 135-140 cm thick, built in the *opus emplectum* technique, and faced on either side of the overground part by a regular limestone cube. The outer side of the wall has yielded three successive usage levels, and inside the building traces of a floor of sandstone slabs have been discovered in secondary position. The overground part has survived to the height of 1 m. The foundation built of broken limestones without mortar projected about 1.5 m on the outside, in relation to the faced part of the relic. The course of the wall, the classic Romanesque technique of building, and the archaeological material represented by pottery, found in the usage levels and in other layers — all this indicates that the feature under discussion is a relict of an early medieval sacral building, in all probability a church with one nave and a semicircular apse on the east side. The church was erected at the turn of the 11th/12th or in early 12th century, together with the second Romanesque cathedral on Wawel. In tracing out the plan of the building measure units consisting of three „palmi majores” (of 22.3 cm each) or Carolingian feet were probably used. The church seems to have been dedicated to St George, as this dedication occurs in the Wawel records since 1229. The church was used in the 12th and in the beginning or the first half of the 13th century, and was destroyed about the middle of the 13th century.

About 1265, when the remains of the church had been pulled down, on its site a section of the new defensive rampart which surrounded the whole Wawel hill was erected. The church was then transferred inside the enclosure, towards the centre of the hill.

At the turn of the 13th and 14th century the rampart was replaced by a stone wall, 6 to 7 m high, and 2 m thick. It was reinforced with a quadrangular tower, called the Thieves' tower. By the end of the 14th or in the early 15th century the wall was considerably raised and an additional defensive line in the form of a stone forewall with several rectangular and shallow bastides was built. This fortification system performed its function until the end of the 18th century. In the years 1790-1792, after the remains of the ruined forewall had been demolished, Wawel was fortified on the west side by a new wall of the tongs fortification.



However, because of the war with Russia and the second partition of Poland the planned works have not been concluded. At this time, too, all that remained of the whole western part of the Romanesque church was destroyed. The fortifications were provisionally adapted for defence during the Kościuszko insurrection of 1794. Next, in the '20 and '30 of the 19th century the level of the ground was considerably raised during large scale regulation works undertaken by the Senate of the Free Town of Kraków. After the occupation of Wawel by the Austrian army in 1852-1854 the wall of the tongs fortification was provided with battlements. The ground level was again raised and the old medieval defensive wall demolished.

Conservation and restoration have been conducted here since 1916 and archaeological investigations — since 1948.

A NEWLY DISCOVERED ROMANESQUE CHURCH ON WAWEL

In 1948 and 1949 archaeological investigations were conducted in the western part of Wawel Hill. The object of which was to get acquainted with the Romanesque building discovered there. The main defensive wall, built in the 13th century, was found to be a large fragment of a semicircular wall, 133-140 cm thick, built in the cast construction technique, and faced on either side of the overground part by a regular limestone coat. The outer side of the wall has yielded three successive usage levels and inside the building traces of a floor of redstone slabs have been discovered in a secondary position. The overground part has survived to the height of 1 m. The foundation built of broken limestone without mortar projected about 1.5 m on the outside in relation to the level of the hill. The course of the wall, the classic Romanesque technique of building and the archaeological material concerned by pottery found in the usage levels and in other layers — all this indicates that the lecture under discussion is a kind of an early medieval secular building. In all probability a church with one nave and a semicircular apse on the east side. The church was erected at the turn of the 11th or in early 12th century together with the second Romanesque cathedral on Wawel. In relation to the plan of the building masonry walls consisting of three „palm trunks” (of 13.3 cm each) or Catholician feet were probably used. The church seems to have been dedicated to St George as the dedication occurs in the Wawel records since 1222. The church was used in the 13th and in the beginning of the 14th century and in the 15th century was destroyed about the middle of the 13th century. About 1385 when the remains of the church had been pulled down on its site a section of the new defensive rampart which surrounded the whole Wawel hill was erected. The church was then transferred inside the enclosure, towards the centre of the hill.

At the turn of the 13th and 14th century the rampart was replaced by a stone wall 6 to 7 m high, and 2 m thick. It was reinforced with a quadrangular tower called the Thieves' tower. By the end of the 14th or in the early 15th century the wall was considerably raised and an additional defensive line in the form of a stone forewall with several rectangular and shallow battlements was built. This fortification system remained in function until the end of the 16th century. In the years 1780-1782 after the remains of the whole forewall had been demolished, Wawel was fortified on the west side by a new wall of the tongs fortification.



Tabela 1. Stratygrafia nawarstwień nowożytnych zalegających nad reliktnami romańskimi w rej. VIII Wawelu

Sygnatura warstwy		Skład	Interpretacja	Podstawa datowania	Chronologia	Uwagi
sonda SF 13 bis wyk. 1/76 i 4/76	wyk. 1/77					
I	2	3	4	5	6	7
I a	I a	asfalt, beton	poziom użytkowy		współczesny	
I a <sub>1</sub>	I a <sub>1</sub>	żwirtek	wyrównawcza		współczesny	
—	I a <sub>2</sub>	piasek + humus	wyrównawcza		współczesny	
I a <sub>3</sub>	—	humus	wyrównawcza		współczesny	lokalna w wyk. 1/77
I b	I b	gruz, humus i in.	wyrównawcza i wikopy instal.		poł. XX w.	
I c	I c	gruz, żużel	wyrównawcza		poł. XX w.	
I d	I d	gruz, humus, zaprawa	wyrównawczo-zasyiskowa		1 poł. XX w.	
I d <sub>1</sub> -I d <sub>4</sub>	I d <sub>1</sub> -I d <sub>4</sub>	gruz, humus, zaprawa, m.	zasyiskowa		1 poł. XX w.	
—	I e	gruz, humus, cegły, kamienie	zasyisko		1 poł. XX w.	
II a	II a	cegłina	poziom użytkowy	stratygrafia, plany, ikonografia, źr. pisane	po r. 1854 do pocz. XX w.	
II b-II b <sub>2</sub>	—	gruz, żwir, humus	zasyiska		1853-1854	związane zapewne z budową szpitala wojskowego



(cd. tab. 1)

1	2	3	4	5	6	7
II c i II c <sub>5</sub>	II c-II c <sub>4</sub>	gruz, zaprawa	zasypiska	stratygrafia, plany, ikonografia, źr. pisane	1853-1854	związane zapewne z budową szpitala wojskowego (bud. nr 8)
II d	—	gruz, piasek, zaprawa	zasypisko (?)	"	1853-1854	
II e	II e	gruz, gliniasty humus	zasypisko	"	1853-1854	
II f	II f	gruz, humus	zasypisko	"	1853-1854	
—	II f <sub>1</sub>	gruz, humus	wyrównawcza	"	1853-1854	
—	II f <sub>2</sub>	glinka lessowa	utwardzenie skarpy ziemnej	ikonografia, plany, stratygrafia	1831	
—	II f <sub>3</sub>	gruz, humus, zaprawa, cegły, kamienie	zasypisko	źr. pisane, stratygrafia	1831	w przekopie pomiędzy wyk. I/77 a 2/76
II g-II g <sub>5</sub>	II g-II g <sub>4</sub>	gruz, glina, zaprawa, kamienie	zasypisko	"	1827-1831 (II g <sub>2</sub> -II g <sub>4</sub> ) 1831 (II g i II g <sub>1</sub> )	
II h	—	humus + gruz, kamienie	destrukcja muru I i poziom użytkowy	"	po 1786	



1	2	3	4	5	6	7
II i	II i	głina	zasypisko	źr. pisane, stratygrafia	1827-1831	
II j	II j	drobny gruz, humus i in.	zasypisko	"	1827-1831	
—	II j <sub>1</sub> -II j <sub>2</sub>	gruz, humus	zasypisko	"	1827-1831	
II k	—	gruz, humus	zasypisko	"	1827-1831	
III a (cz. w-wy V a?)	—	gruz, kamienie, zaprawa, ceramika	zasypisko	źr. pisane + architektura	1786 lub 1790	ceramika datuje w-wę na p. średniowiecze — zapewne przesunięcie w-wy i wypełnienie luki po murze
III b	—	głina, humus z gliną, cegły	zasypisko (?)	architektura, źr. pisane	1790?	
—	III c	humus, zaprawa, cegły	poziom budowy muru 6	architektura, źr. pisane, stratygrafia	1790-1792	
—	III d	piasek, drobny gruz, zaprawa	poziom budowy muru 4 i zasypisko wykopu	architektura, źr. pisane	1790-1792	
III/V	III/V	humus z glina, glina	strop wału z XIII w.	stratygrafia, ceramika, architektura, źr. pisane	ukształt. w. 1786 i 1790-1792	



Tabela 2. Stratygrafia nawarstwień powiązanych bezpośrednio z reliktnami budowli romańskiej w rejonie VIII Wawelu

Sygnatura warstwy		Skład	Interpretacja	Podstawa datowania	Chronologia	Nr zespołu	Uwagi
sonda SF 13 bis, wyk. 1/76, 4/76	wyk. 1/77						
1	2	3	4	5	6	7	8
V a	—	humus, glina, cegła, drobne kamienie, nieco węgla drz.	zasypisko	stratygrafia, ceramika	XIV-XV w.	135	Na zewn. apsydy, po wsch. stronie muru 1
—	V a <sub>1</sub>	humus, glina, zaprawa, fragm. cegieł, dachówek, kamienie	zasypisko w frakcie budowy i po budowie muru 1	ceramika, stratygrafia, architekt.	2 poł. XIV w.	205	+ 9 fragm. cer. no-woż. w stropie
V b	—	głina, kamienie, polepa, węgle drz.	zasypisko ?	stratygrafia, ceramika	XIV w.?	134 i 147	domieszka mat. no-wożytnego (styłk warstw)
V b <sub>1</sub>	V b <sub>1</sub>	głina, kamienie duże i średnie, ława kam. w spagu, szczątki konstr. drewn., cegły	resztki wału obronnego	ceramika, stratygrafia, źródła pisane	pocz. 2 poł. XIII w. (1265 r.)	166 i 209	
V f <sub>1</sub>	V/VI/a	zaprawa, kamienie drobne i średnie	destrukc. „1” budowl. romańskiej (muru 2)	ceramika, stratygrafia	ok. poł. XIII w.	214 i 222	także zesp. 153 i 158 (w-wa V f — 1976)
—	VI a	humus, glina, polepa, węgle drzewne	niwelacyjna	stratygrafia	ok. poł. XIII w.	210	łączy się z w-wą V b <sub>2</sub> (ceramika)
V b <sub>2</sub>	V/b <sub>2</sub>	humus, glina, drobne kam., fragm. cegieł	niwelacyjna	stratygrafia	ok. poł. XIII w.	211	łączy się z w-wą VI a
V f <sub>2</sub>	V/VI/b	głina, humus, drobne kamienie, okruchy zaprawy	niwelacyjna	ceramika, stratygrafia	ok. poł. XIII w.	216	



1	2	3	4	5	6	7	8
Vf <sub>3</sub>	V/VI/c	zaprawa i kamienie zmieszane z jasną gliną	destrukcja muru 2, zmieszany (niwelacja) z resztą wału VI a <sub>1</sub>	ceramika, stratygrafia	schyłek 1 poł. XIII w.	217 223	
Vf <sub>4</sub>	VI a <sub>1</sub>	jasna glina, reszty konstr. drewnianych	resztki wału (?) obronnego	ceramika, stratygrafia	1 poł. XIII w. (1243 r.?)	218	
—	VI a <sub>2</sub>	glina, humus, drobne kam., nieco zaprawy	niwelacyjna (?)	stratygrafia	1 poł. XIII w.	213 (część)	lokalna, w pd. cz. wyk. 1/77
—	VI a <sub>3</sub>	humus, glina, kamienie, trochę zaprawy	niwelacyjna (?)	stratygrafia	1 poł. XIII w.	213 (część)	"
—	VI a <sub>4</sub>	humus, glina, nieco zaprawy, drobne i średnie kam., węgle drz., kości	osadowa (?) niwelacyjna (?)	ceramika, stratygrafia	XII/XIII w. lub pocz. XIII w.	220	
Vf <sub>5</sub>	VI a <sub>5</sub>	zaprawa, kamienie (w tym kostki), nieco humusu	destrukcja muru 2, I faza zniszczenia	ceramika, stratygrafia	XII/XIII w. lub pocz. XIII w.	200 219	
Vf <sub>6</sub>	—	humus zmieszany z zaprawą	element destrukcji budowli romańskiej	stratygrafia	XII/XIII w. lub pocz. XIII w.	158 (część)	lokalnie wewn. apsydy wyk. 1/76
—	VI a <sub>6</sub>	humus, glina, popiół, węgle drz., kamyki i okrzeski („bruki")	2 lub 3 kolejne poziomy użytkowe budowli romańskiej	ceramika	2 poł. XI i XII w.	225, 226, 227, 232, 233	widać zmiany ceramiczne w obrębie w-wy
—	VI a <sub>7</sub>	humus, glina, popiół, węgle drz., kamienie, nieco zaprawy	wkopy fundament. muru 2	ceramika, charakter w-wy	XI w. (2 poł.?)	234	
VI a	VI a <sub>8</sub>	humus, glina, grudki polepy, ślady konstr. drewn., węgle drz.	w-wa osadowa, zapewne niwelowana przed budową muru 2	ceramika	2 poł. lub schyłek XI w.	235	



Tabela 3. Analiza zespołów ceramiki powiązanych z budowlą romańską w rej. VIII Wawelu

Zespół	Wykop	Warstwa	Interpretacja warstwy	Ceramika									Chronologia				Co datuje zespół	U w a g i		
				Ilość fragm.	Grupy surowca w %						Typy brzegów *	surowiec	typy brzegów	inne kryteria	chronologia zespołu					
					wczesnośredniowieczne *											p. średnio-wieczne **				
					I	II	III	IV	V	VI						I			II	III
153	1/76 cz. N	V f <sub>5</sub>	Destrukt bud. romańskiej (wewn. apsydy)	107	1,9	—	—	—	—	96,2	1,9	—	—	20, 30, 35, 36, 58 i in.	1 poł. XIII w.	ok. poł. XIII w.	materiał na złożu wtórnym (destrukcja)	2 tercja XIII w. ?	moment zburzenia i rozebrania reszt kościoła	1 mały fragm. kafła nowożytnego na styku z w-wą nowożytną
158	1/76 cz. S	V f <sub>1</sub> do V f <sub>0</sub>	„	162	1,2	—	—	—	—	98,2	0,6	—	—	13, 29, 23 /30, 30, 30/54, 55	1 poł. XIII w.	XII w.	„	2 tercja XIII w. ?	„	
166	1/76 cz. S	V b <sub>1</sub>	reszty wału obronnego	77	2,6	—	—	—	—	96,1	1,3	—	—	21?, 29, 30, 52, 54, 54?	1 poł. XIII w.	ok. poł. XIII w. (pocz. poł. XIII w.?)	materiał na złożu wtórnym (w wale)	pocz. 2 poł. XIII w.	moment budowy (być może i użytkowania wału obr.)	materiał pochodzi z wnętrza wału, po zdjęciu w-wy wierzchniej
200	4/76	V f <sub>5</sub>	destrukt bud. romańskiej wewn. apsydy (cz. dolna)	46	13,0	—	—	—	—	87,0	—	—	—	1 brzeg 26/27	XII/XIII w.	XI-pocz. XIII w.	materiał w destrukcji budowli	pocz. lub 1 poł. XIII w.	moment zburzenia kościoła	wysoki wskaźnik ceramiki „białej” (mała próba statyst.)
205	1/77	V a <sub>1</sub>	zasypano powstałe w momencie budowy i po budowie przedmurza	751	0,5	—	—	—	—	22,7	—	54,5	22,1	wczesno- i późnośredniowieczne	ok. poł. XIV w.	—	ok. 20% fr. glazurowanych, źródła pisane, grosz praski J. Luksemburczyka ***	2 poł. XIV-XIV/XV w.	moment budowy i zapewne pocz. okres użytkowania przedmurza	9 fragm. cer. nowożytnej ze stropu w-wy — na styku z w-wą nowożytną
209	1/77	V b <sub>1</sub>	resztki wału obronnego	710	11,0	—	0,7	—	—	81,4	2,1	1,3	3,5	„	ok. poł. XIII w.	—	źródła pisane	pocz. 2 poł. XIII w. (1265 r.?)	moment budowy wału	
214	1/77	V/VI/a	destrukt budowli romańskiej	70	1,4	—	—	—	—	95,7	2,8	—	—	29, 54/56, zbl. 54	1 poł. XIII w.	XIII w.	—	ok. połowy XIII w.	rozbiórka resztek kościoła, zapewne w związku z budową wału młodszego	
217	1/77	V/VI/c	destrukt budowli romańskiej	94	2,1	—	—	—	1,0	96,9	—	—	—	28, 29, 29/30, 30	XII-1 poł. XIII w.	XII-1 poł. XIII w.	warstwa młodsza od VI a <sub>1</sub> (zespół 218)	schyłek 1 poł. XIII w.	niwelację terenu, zapewne w związku ze zburzeniem wału starszego	
218	1/77	VI a <sub>1</sub>	resztki wału obronnego	464	1,9	0,2	0,2	—	—	97,7	—	—	—	10, 11/13, zbl. 22, zbl. 29, 29, 29/30, 28, 39	1 poł. XIII w.	XI-1 poł. XIII w.	materiał z wału	1 poł. XIII w. (1243 r.?)	moment budowy wału starszego	
219	1/77	VI a <sub>5</sub>	destrukt „3” bud. romańskiej (najstarsza faza zniszczenia)	109	2,7	1,8	—	—	—	95,5	—	—	—	zbl. 20, 22, zbl. 39, zbl. 30, zbl. 41/42	XII w.	XII-XIII w.	warstwa odpowiadająca V f <sub>5</sub>	XII/XIII w. lub pocz. XIII w.	moment zniszczenia kościoła	
225	1/77	VI a <sub>6</sub>	w-wa z okresu użytkowania bud. romańskiej	144	2,0	—	0,7	—	—	97,3	—	—	—	13, zbl. 13, 29	XII w.	XI-pocz. XIII w.	—	XII w.	okres użytkowania kościoła	
226	1/77	VI a <sub>6</sub>	„	128	18,8	—	1,4	—	—	79,8	—	—	—	13/14, 17, 18, 22, 27, 29	2 poł. XI w.-XI/XII w.	XI w.	—	2 poł. XI w. lub XI/XII w.	„	
232	1/77	VI a <sub>6</sub>	„	535	5,2	—	—	—	—	94,4	—	—	—	4, 8, 12, zbl. 13, zbl. 22, 22, 29, zbl. 34? (1 szt.)	XI/XII w.	XI w.	—	XI/XII w.	„	
233	1/77	VI a <sub>6</sub>	„	34	26,4	—	5,8	5,8	—	62,0	—	—	—	1, zbl. 18, zbl. 22, zbl. 29, 29	2 poł. XI-XI/XII w.	XI w.	—	2 poł. XI w.	okres użytkowania i moment budowy kościoła (dolna granica)	
234	1/77	VI a <sub>7</sub>	wkop fundamentowy apsydy budowli romańskiej	537	43,4	0,7	1,7	—	—	54,0	—	—	—	różnorodnej najmłodsze 29, zbl. 29	X-XI i pocz. XI w.	XI w. (1 poł.?)	charakter w-wy (wkop fundamentowy)	2 poł. XI w. lub koniec XI w.	—	materiał znacznie młodszy od okresu budowy kościoła
235	1/77	VI a <sub>8</sub>	warstwa osadowa (?) zapewne zniwelowana częściowo przed rozpoczęciem budowy kościoła	183	25,6	—	6,0	—	—	67,3	—	—	—	różnorodne; najmłodsze 29, 29/30, 31	XI w.	2 poł. lub schyłek XI w.	cz. materiału zapewne na złożu wtórnym	2 poł. XI w. lub schyłek XI w.	moment budowy kościoła	2 frgm. ceramiki starożytnej. W-wa V a <sub>8</sub> eksplorowana w pd. części wykopu 1/77, gdzie „bruki” kam. znikają, możliwość wystąpienia materiału młodszego, związanego już z okresem użytkowania budowli

\* wg K. Radwańskiego \*\* wg A. Wałowy \*\*\* oznaczenie monety — J. Fraś



